

ASAMBLARI NEDEMONTABILE

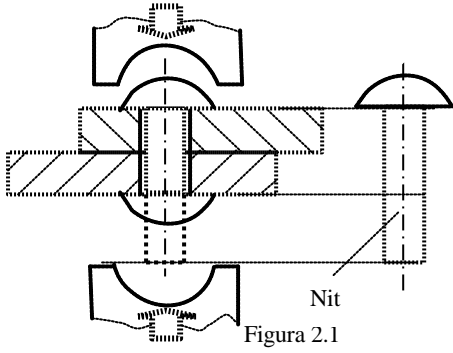


Figura 2.1

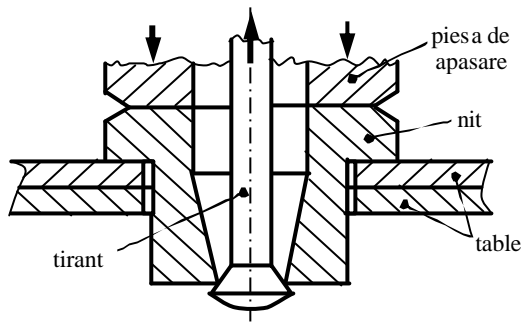


Figura 2.2.a

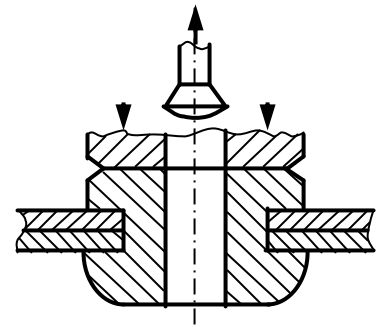


Figura 2.2.b

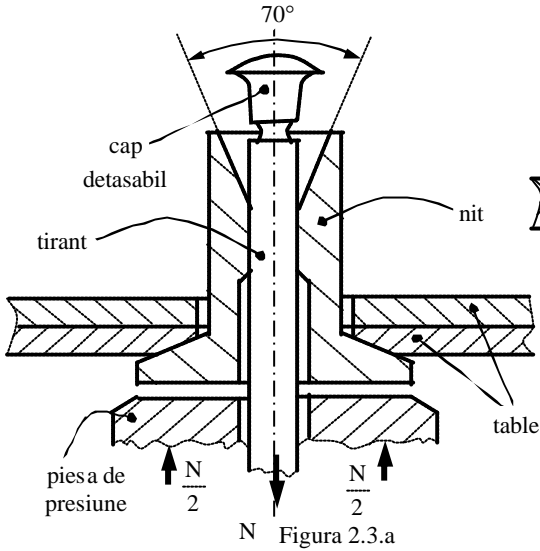


Figura 2.3.a

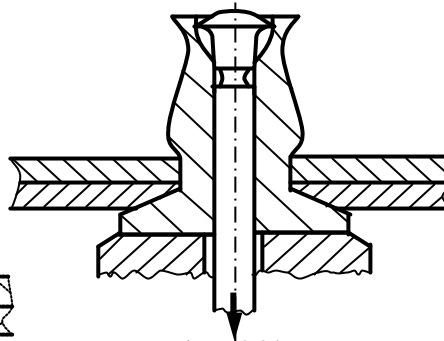


Figura 2.3.b

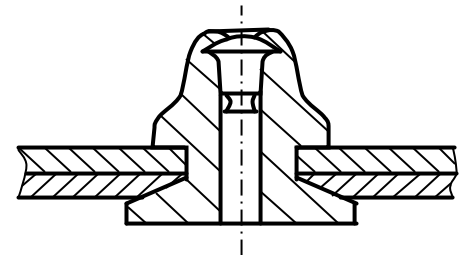


Figura 2.3.c

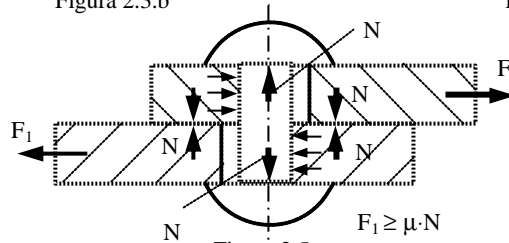


Figura 2.5

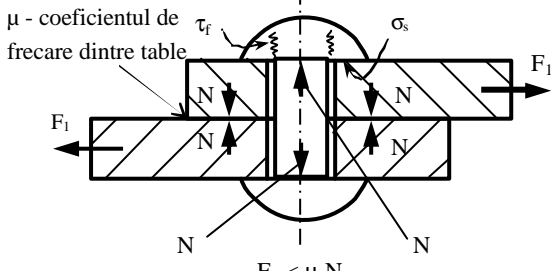


Figura 2.4

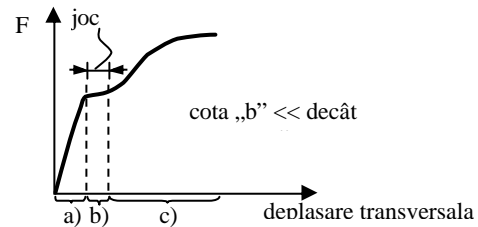


Figura 2.7

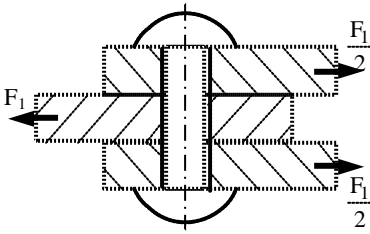


Figura 2.6.a

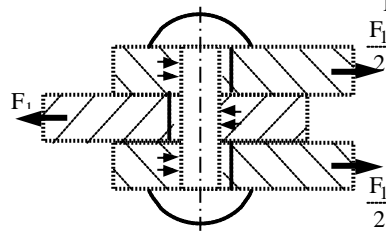


Figura 2.6.b

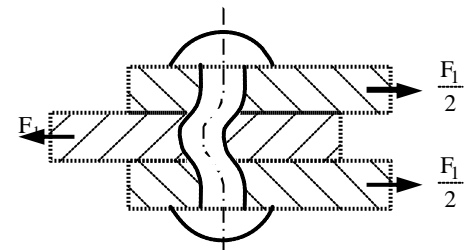


Figura 2.6.c

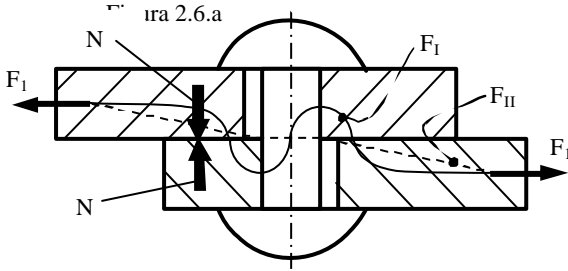


Figura 2.8

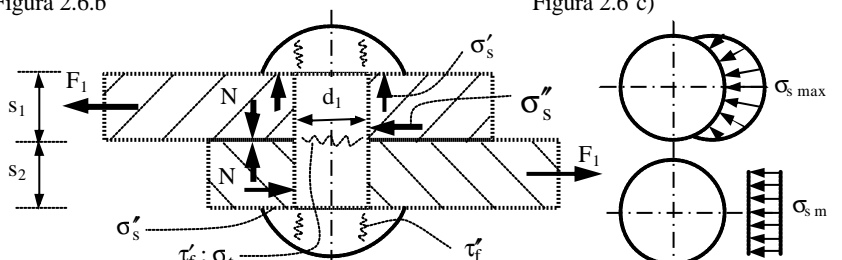


Figura 2.9

$$\tau_f = \frac{F_1}{\frac{\pi \cdot d_1^2}{4}} \leq \tau_{af} \quad (2.1)$$

$$\sigma_s = \frac{F_1}{s_{\min} \cdot d_1} \leq \sigma_{as}; \quad \sigma_{as} \text{ pentru materialul cel mai puțin rezistent (nit sau tabla).} \quad (2.2)$$

$$F_1 = 2 \cdot \left(e - \frac{d_1}{2} \right) \cdot s_{\min} \cdot \tau_f^* \quad \text{*) tensiune de forfecare în table} \quad (2.3)$$

$$\tau_f^* \leq \tau_{af}^*$$

$$F_1 = (t - d_1) \cdot s_{\min} \cdot \sigma_t^* \quad \text{*) tensiune de tractiune în table} \quad (2.4)$$

$$\sigma_t^* \leq \sigma_{at}^*$$

$$F_1 = 2 \cdot (e_1 - d_1) \cdot s_{\min} \cdot \tau_f^{**} \quad \text{**) – tensiunea de forfecare longitudinala a tablelor} \quad (2.5)$$

$$\tau_f^{**} \leq \tau_{af}^*$$

$$F_0 = \frac{F}{i} \quad (2.6)$$

$$FL = \sum_{x=1}^n i_x \cdot F_x \cdot r_x; \quad n = 2$$

$$\frac{F_1}{r_1} = \frac{F_2}{r_2}; \quad F_2 = F_{\max}$$

$$FL = i_1 \cdot F_1 \cdot r_1 + i_2 \cdot F_2 \cdot r_2 = i_1 \cdot \frac{r_1}{r_2} \cdot F_2 \cdot r_1 + i_2 \cdot F_2 \cdot r_2 \quad (2.7)$$

$$FL = F_2 \cdot \left(i_1 \cdot \frac{r_1^2}{r_2} + i_2 \cdot r_2 \right) \Rightarrow F_2, \text{ respectiv } F_1$$

$$F_{\max} = \sqrt{F_0^2 + F_2^2 + 2 \cdot F_0 \cdot F_2 \cdot \cos(F_0, F_2)} \quad (2.8)$$

$$\tau_{af} = (0,6 \dots 0,7) \cdot \sigma_{at} \quad (2.9)$$

$$\sigma_{as} = (2 \dots 2,5) \cdot \tau_{af}$$

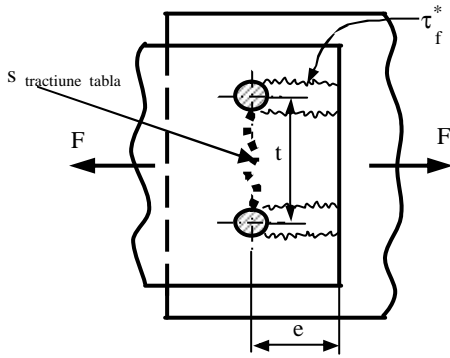


Figura 2.10

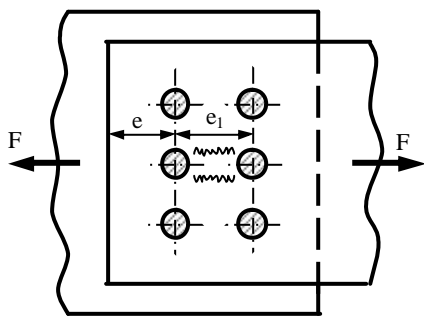


Figura 2.11

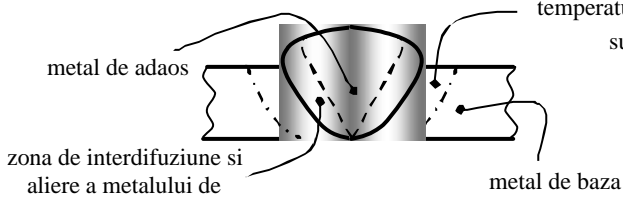


Figura 2.13

$$\sigma_{ts} = \frac{F}{l_s \cdot a} \leq \sigma_{as}$$

$$l_s = 1 - 2 \cdot s$$

(2.10)

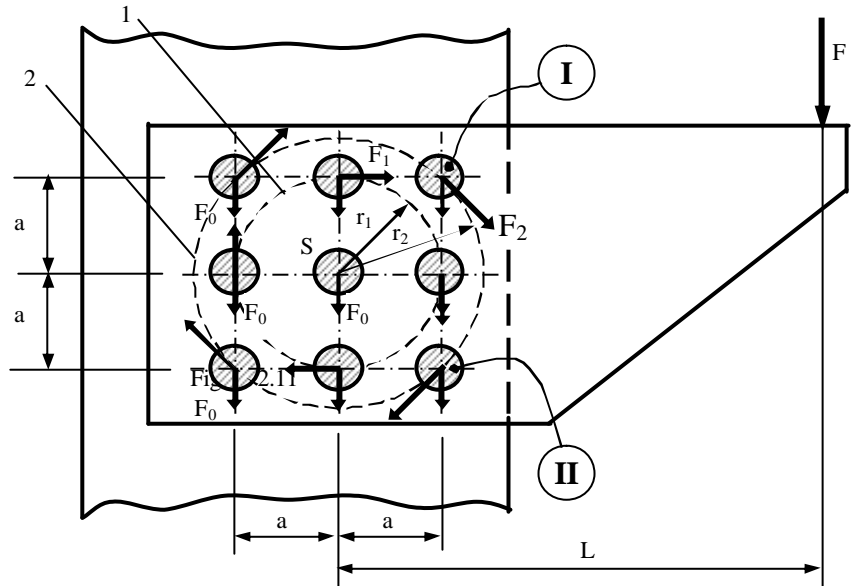


Figura 2.12

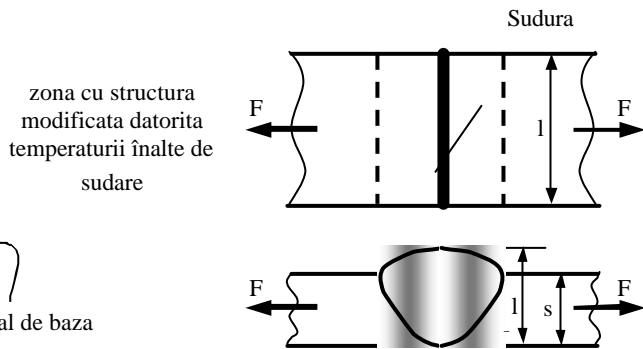


Figura 2.14

$$\sigma_i = \frac{M}{a \cdot l^2} \leq \sigma_{ai} \tag{2.11}$$

$$F = l \cdot a \cdot \sigma_{a \text{ sudura}} = l \cdot a \cdot \varphi \cdot \sigma_{a \text{ tabh}} = l \cdot s \cdot \sigma_{a \text{ tabla}} \tag{2.12}$$

$$\Rightarrow a = \frac{s}{\varphi}, \text{ deci } a \geq s$$

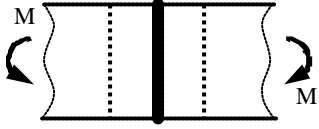


Figura 2.15

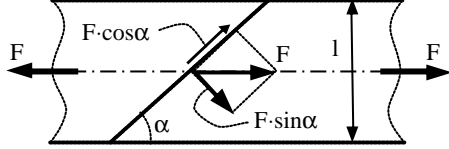


Figura 2.16

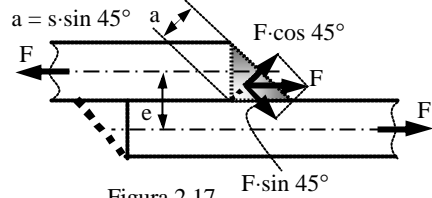


Figura 2.17

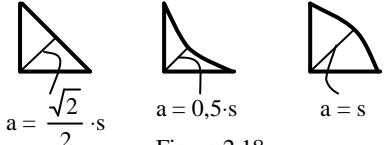


Figura 2.18

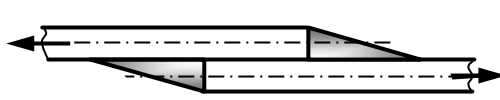


Figura 2.19

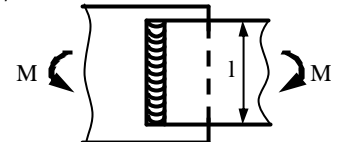


Figura 2.20

$$\left. \begin{aligned} \sigma_{ts} &= \frac{F \cdot \sin \alpha}{l_s \cdot s} \\ \tau_{fs} &= \frac{F \cdot \cos \alpha}{l_s \cdot s} \end{aligned} \right\} l_s = \frac{l}{\sin \alpha} - 2 \cdot s \tag{2.13}$$

$$\sigma_{echs} = \sqrt{\sigma_{ts}^2 + 3 \cdot \tau_{fs}^2} \leq \sigma_{as} \tag{2.14}$$

$$\sigma_{ts} = \frac{F}{l_s \cdot a} \cdot \sin 45^\circ = \frac{\sqrt{2}}{2} \cdot \frac{F}{l_s \cdot a} \tag{2.15}$$

$$\tau_{fs} = \frac{F}{l_s \cdot a} \cdot \cos 45^\circ = \frac{\sqrt{2}}{2} \cdot \frac{F}{l_s \cdot a}$$

$$\sigma_{ech} = \sqrt{\sigma_{ts}^2 + \tau_{fs}^2} = \frac{F}{l_s \cdot a} \leq \sigma_{as}$$

$$\sigma_{ts} = \frac{\sqrt{2}}{4} \cdot \frac{F}{l_s \cdot a} \tag{2.16}$$

$$\tau_{fs} = \frac{\sqrt{2}}{4} \cdot \frac{F}{l_s \cdot a}$$

$$\sigma_{ech} = \frac{1}{2} \cdot \frac{F}{l_s \cdot a} \leq \sigma_{as}$$

$$\tau_{fs} = \frac{F}{l_s \cdot a} \leq \tau_{afs} \text{ pentru sudura monofrontala} \tag{2.17}$$

$$\tau_{fs} = \frac{1}{2} \cdot \frac{F}{l_s \cdot a} \leq \tau_{afs} \text{ pentru sudura bifrontala} \tag{2.18}$$

$$\sigma_{is} = \frac{M}{W_s} \leq \sigma_{ais} \tag{2.19}$$

$$W_s = \frac{a \cdot l_s^2}{6} \text{ pentru sudura monofrontala} \tag{2.20}$$

$$W_s = 2 \cdot \frac{a \cdot l_s^2}{6} \text{ pentru sudura bifrontala} \tag{2.21}$$

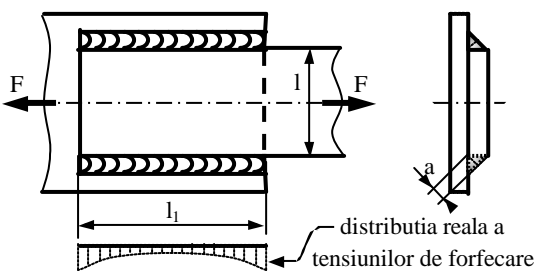


Figura 2.21

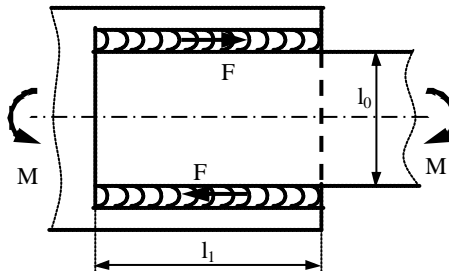


Figura 2.22

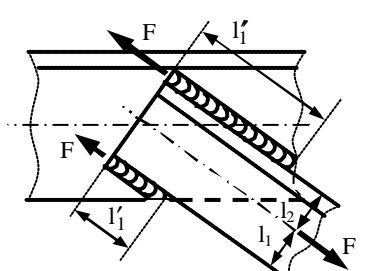


Figura 2.23

$$\tau_{fs} = \frac{F}{2 \cdot l_{s1} \cdot a} \leq \tau_{afs} \quad (2.22)$$

$$l_{s1} = l_1 - 2 \cdot s$$

$$a = 0,7 \cdot s$$

$$F \cdot l_0 = M \Rightarrow F = \frac{M}{l_0}$$

$$\tau_{fs} = \frac{F}{l_{s1} \cdot a} \leq \tau_{afs} \quad (2.23)$$

$$l_{s1} = l_1 - 2 \cdot s$$

$$\begin{cases} F_1 + F_2 = F \\ F_1 \cdot l_1 = F_2 \cdot l_2 \end{cases} \Rightarrow \begin{cases} F_1 = F \cdot \frac{l_2}{l_1 + l_2} \\ F_2 = F \cdot \frac{l_1}{l_1 + l_2} \end{cases} \quad (2.24)$$

$$l'_{1s} = \frac{F_1}{0,7 \cdot s \cdot \tau_{afs}} \quad (2.25)$$

$$l''_{1s} = \frac{F_2}{0,7 \cdot s \cdot \tau_{afs}} \quad (2.26)$$

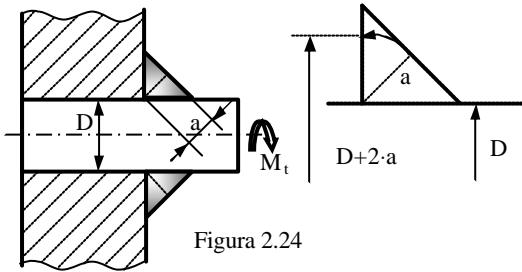


Figura 2.24

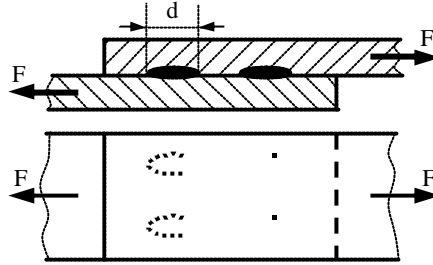


Figura 2.25

$$\tau_{ts} = \frac{M_t}{W_{ps}} \leq \tau_{ats} \quad (2.27)$$

$$W_{ps} = \frac{\pi \cdot [(D + 2 \cdot a)^4 - D^4]}{16 \cdot (D + 2 \cdot a)} \quad (2.28)$$

$$\tau_{fs} = \frac{F}{n \cdot \frac{\pi \cdot d^2}{4}} \leq \tau_{afs} \quad (2.29)$$

$$F_c = \beta_1 \cdot \beta_2 \cdot \beta_3 \cdot F;$$

$$M_c = \beta_1 \cdot \beta_2 \cdot \beta_3 \cdot M;$$

$\beta_1 = 1 \dots 1,3$ - dat de gradul de cunoaștere a eforturilor;

$\beta_2 = 1 \dots 3$ - ține cont de prezența socurilor;

$\beta_3 = 1,2 \dots 1,5$ - coeficient de importanță a asamblării.

$$\sigma_{as} = k_0 \cdot k_1 \cdot \sigma_a;$$

σ_a - rezistența admisibilă a materialului de bază;

k_0 - coeficient de calitate;

k_1 - coeficient care ține cont de forma secțiunii și de solicitare (Tabelul 2.1).

Tabelul 2.1

Tipul îmbinării	Solicitarea	k_1
Cap la cap	- tracțiune	0,75
	- compresiune	0,85 ... 0,9
	- încovoiere	0,8
	- forfecare	0,65
De colt	Orice tip de solicitare	0,65

Tabelul 2.2

Modul de executare	Caracteristici	Domenii de aplicare
Cu ciocanul de lipit	Ciocanul se încălzește la o temperatură mai mare decât cea la care se topește aliajul de lipit.	Lipituri moi (unicate, electrotehnica).
Cu flacăra (lampa de mână)	Lampa de mână sau flacăra oxiacetilenică.	Oțel, cupru sau aliaje. Piese mari, serie mare.
Cu rezistențe electrice (efect Joule)	Electrozi de Cu, pentru a se evita supraîncălzirile locale. Timp redus de încălzire.	Lipituri moi sau tari.
Cufundarea în baie de sare topită	Încălzirea băii se face cu electrozi de grafit. Piese de	Cu și aliajele sale (unicate sau serie).

Modul de executare	Caracteristici	Domenii de aplicare
(baie de aliaj de lipit)	asamblat se introduc în baie în zona de lipire.	Productivitate mare.
Prin inductie	Locul de lipit este încălzit prin curent electric variabil.	Producție în flux continuu (serie mare). Pentru materiale feromagnetice.
Încalzire în cuptor	Se introduce toată piesa după ce, în prealabil, s-a depus materialul de adaos. În cuptor există atmosfera protectoare de gaz.	Lipituri moi sau tari, serie mare
Cu ultrasunete	Aliajul topit difuzează mai ușor.	Pentru Al, Cu, Ag, Mg, Ge.
Cu raze laser	Laser YAG, rubin sau CO ₂ . Proces automatizat.	Electronica
Cu flux reactiv de lipire	Fluxul conține clorura de zinc încălzită la 345÷380°C. Aceasta reacționează cu Al (material de bază) și depune Zn pe rost.	Aluminiu (metoda unică de lipire a aluminiului).

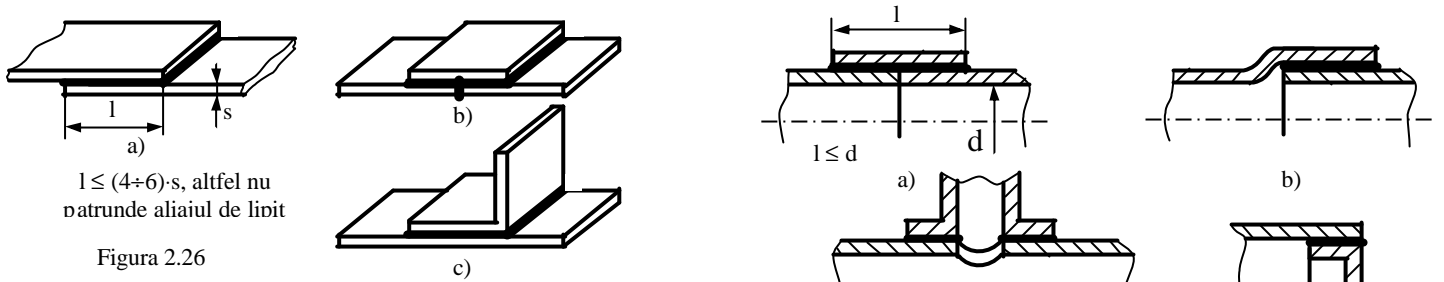


Figura 2.26

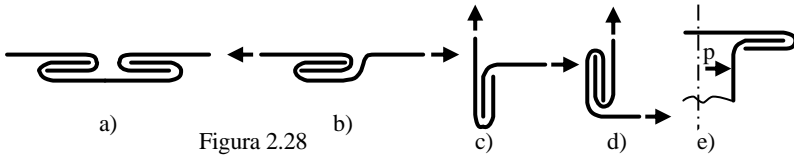


Figura 2.27

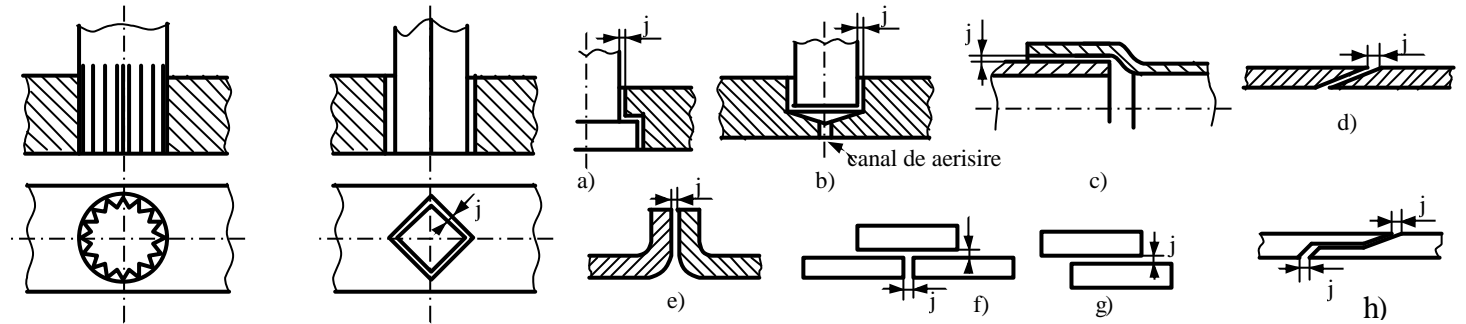


Figura 2.28

Figura 2.29

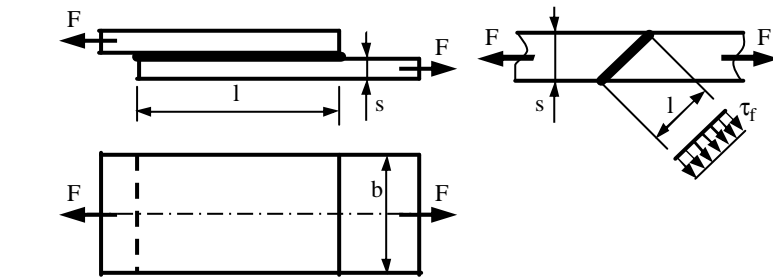


Figura 2.30

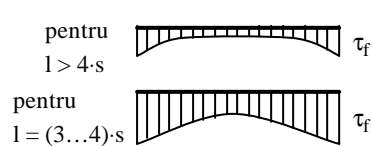


Figura 2.31

$$\tau_f = \frac{F}{b \cdot l} \leq \tau_{af}; \tau_{af} \text{ determinat experimental} \quad (2.30)$$

$$\tau_f' = \frac{F}{\pi \cdot d \cdot l} \leq \tau_{af}$$

$$\tau_f'' = \frac{2 \cdot M_t}{d} \cdot \frac{1}{\pi \cdot d \cdot l} \leq \tau_{af} \quad (2.31)$$

$$\tau_{af} = \frac{\tau_r}{c}; \quad c = 2 \dots 3$$

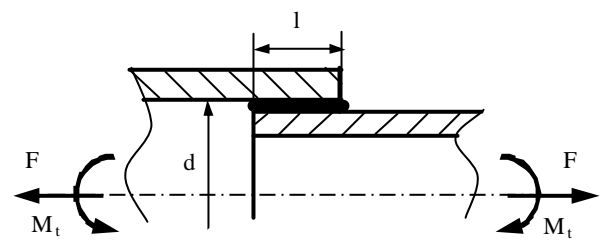


Figura 2.32

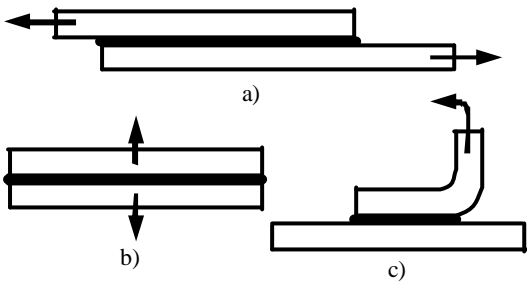


Figura 2.33

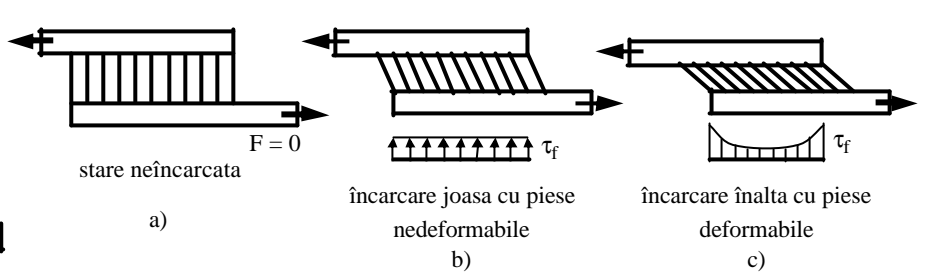


Figura 2.34

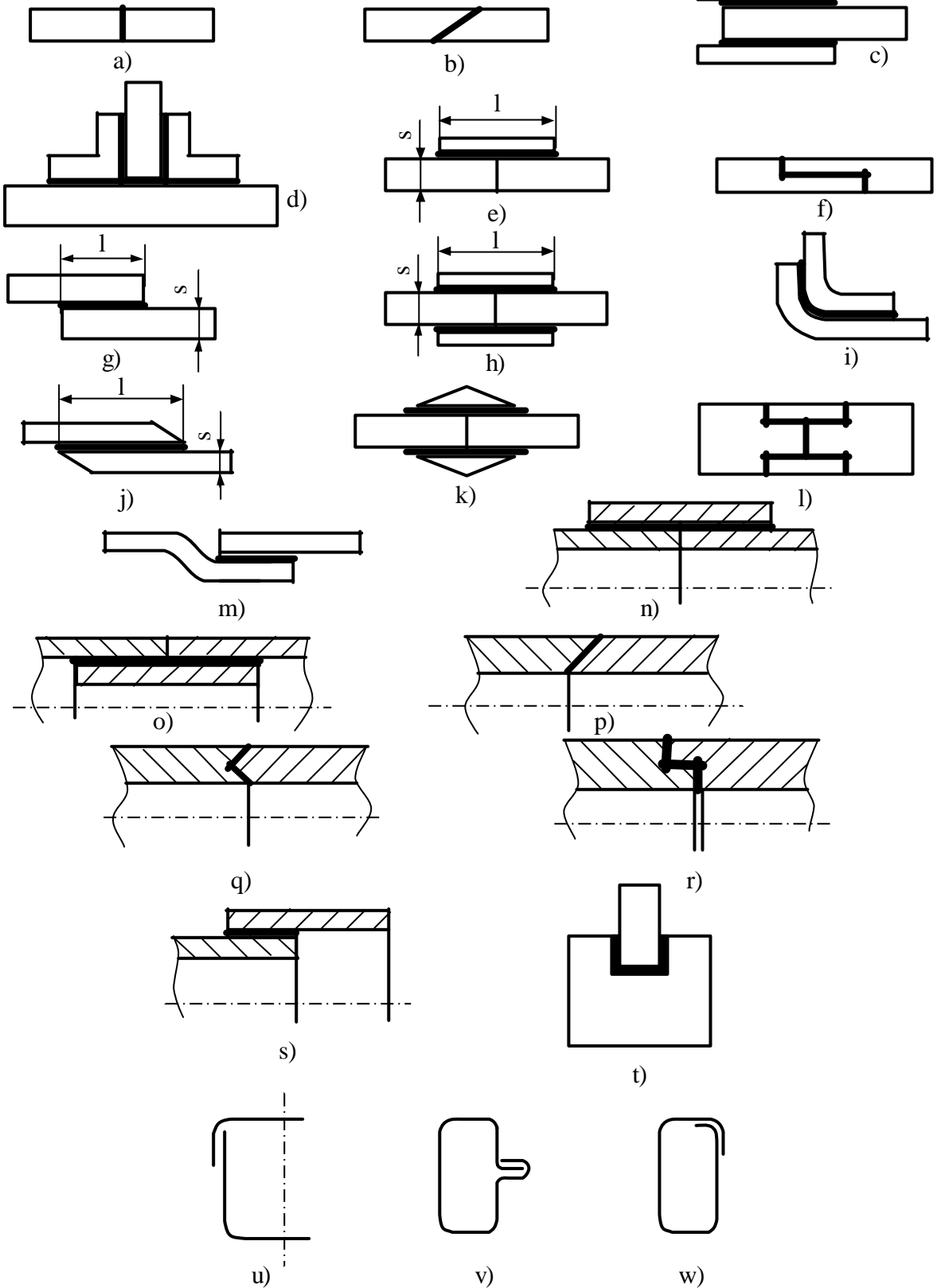


Figura 2.35